

## II-155 湾内流の数値シミュレーションにおける入力条件の影響

鹿島建設株式会社 正員 ○宮本 舟弘  
 関山大学 工学部 正員 河原 長美  
 岡山市 山地 由記

筆者らは、従来より児島湾水域を対象として、観測および数値シミュレーションにより湾内流の特性について検討を行なってきている。今回は、児島湾における流動特性を解明するための基礎として、1層2次元モデルを用いて数値シミュレーションを行なう場合に、計算結果に影響を与えると思われる要因をとりあげ、各々の要因が児島湾における湾内流のシミュレーション結果における影響の程度について、観測結果とも比較して検討を加える。

### 1 基礎式

$$\text{連続式} \quad \frac{\partial \zeta}{\partial t} + \frac{\partial(hu)}{\partial x} + \frac{\partial(hv)}{\partial y} = 0$$

$$\begin{aligned} \text{運動方程式} \quad & \frac{\partial(hu)}{\partial t} + \frac{\partial(hu^2)}{\partial x} + \frac{\partial(huv)}{\partial y} + gh \frac{\partial \zeta}{\partial x} = fhv + \frac{1}{\rho} (\tau_x^s - \tau_x^b) + \frac{1}{\rho} \left( \frac{\partial(hAx)}{\partial x} \frac{\partial u}{\partial x} + \frac{\partial(hAy)}{\partial y} \frac{\partial u}{\partial y} \right) \\ & \frac{\partial(hv)}{\partial t} + \frac{\partial(huv)}{\partial x} + \frac{\partial(hv^2)}{\partial y} + gh \frac{\partial \zeta}{\partial y} = -fhu + \frac{1}{\rho} (\tau_y^s - \tau_y^b) + \frac{1}{\rho} \left( \frac{\partial(hAx)}{\partial x} \frac{\partial v}{\partial x} + \frac{\partial(hAy)}{\partial y} \frac{\partial v}{\partial y} \right) \end{aligned}$$

ここに、 $x, y, z$ : 水平面内に、東向きに $x$ 軸、北向きに $y$ 軸、船直上方に $z$ 軸をとる。 $t$ : 時間、 $u, v$ : それぞれ $x, y$ 方向の平均流速、 $f$ : コリオリ係数( $f=0.00008 \text{ rad/s}$ )、 $A_x, A_y$ : 水平運動量拡散係数、また、セン断应力項については、次に示される表現を適用する。

$$\tau_x^s = \rho_a W^2 \sin \phi, \quad \tau_y^b = \rho_a W^2 \cos \phi \quad \dots \quad (4)$$

$$\tau_z^b = \rho Y_b^2 u \sqrt{u^2 + v^2} \quad \tau_y^b = \rho Y_b^2 v \sqrt{u^2 + v^2} \quad \dots \quad (5)$$

ここに、 $\rho_a, Y_b$ : それぞれ、水面および底面での抵抗係数、 $W$ : 風速、 $\phi$ :  $y$ 軸と風向の角度

### 2 差分式

数値計算にあたっては、図-1に示されるspace-staggered-schemeによる差分法を適用する。また、差分法の表示を簡潔にするため式(6)の表記法を用いれば、式(1)～(3)は式(7)～(9)のように差分化される。

$$\left. \begin{aligned} F &= \frac{1}{2} \{ F[(i+\frac{1}{2})\Delta x, j\Delta y, nat] - F[(i-\frac{1}{2})\Delta x, j\Delta y, nat] \} \\ \delta x F &= \frac{1}{\Delta x} \{ F[(i+\frac{1}{2})\Delta x, j\Delta y, nat] - F[(i-\frac{1}{2})\Delta x, j\Delta y, nat] \} \\ F_t &= F[i\Delta x, j\Delta y, (n+1)\Delta t] \end{aligned} \} \right. \quad \dots \quad (6)$$

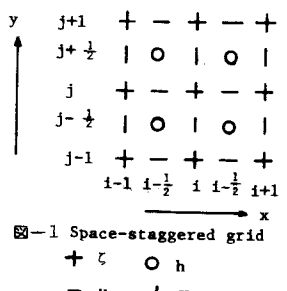


図-1 Space-staggered grid

+  $\zeta$     O  $h$   
 -  $u$     |  $v$

$$\text{連続式} : \overline{\delta t \zeta}^t = - \{ \delta_x(\bar{h}^x u) + \delta_y(\bar{h}^y v) \} \quad \text{at } i, j, n \quad (7)$$

$$\begin{aligned} \text{運動方程式} : \overline{\delta t(\bar{h}^x u)}^t &= -\delta_x(\bar{h}^x u^x u^x) - \delta_y(\bar{h}^y u^x u^y) + f \bar{h}^x \bar{u}^{-x} y - g \bar{h}^x (\delta_x \zeta_+) + (\bar{\tau}_x^s - \bar{\tau}_x^b) \\ &+ \frac{1}{\rho} [\delta_x \{ \bar{h}^x A_x^x \delta_x u \} - \delta_y \{ \bar{h}^y A_y^x \delta_y u \}] \quad \text{at } i+\frac{1}{2}, j, n \end{aligned} \quad (8)$$

$$\begin{aligned} \overline{\delta t(\bar{h}^y v)}^t &= -\delta_x(\bar{h}^x u^y v^x) - \delta_y(\bar{h}^y v^y v^x) - f \bar{h}^y \bar{v}^{-y} x - g \bar{h}^y (\delta_y \zeta_+) + (\bar{\tau}_y^s - \bar{\tau}_y^b) \\ &+ \frac{1}{\rho} [\delta_x \{ \bar{h}^x A_x^y \delta_x v \} - \delta_y \{ \bar{h}^y A_y^y \delta_y v \}] \quad \text{at } i, j+\frac{1}{2}, n \end{aligned} \quad (9)$$

### 3 観測方法と潮流計算に対する入力条件

児島湾における観測は、図-2に示す各地点で、水位については10～30分間隔で、流速については1時間間隔(12時間継続して行なった)。

潮流計算を支配する因子としては様々な要因が考えられるが、すべてについて検討を行なうことはできないので、コリオリ力、風力、抵抗係数、水平運動量拡散係数、河川流入点の取り扱い方法について検討を行なう。

児島湾水域(図-2参照のこと)について、 $\Delta x = \Delta y = 200m$ の格子網に分割し、初期水位としては湾口での初期水位

を与え、流速はすべてゼロとした。また、境界条件としては河口での実測水位を与える場合と、河川感潮部への流入流量が西河川とともに  $90 \text{ m}^3/\text{s}$  であるとして、連続式のみを適用する場合を検討する。計算条件については、表-1に示す。

#### 4 計算結果および考察

ケースNo.1の結果を図-3および図-4に示す。水位変化については、干潮時および満潮時に観測値と計算値との間に幾分差があるが、全体としては、比較的よく一致しており、潮流に関しては河内流をほぼ再現していると推定される。以下のケースはケースNo.1と比較して、計算条件の影響に関する検討を加える。

コリオリ力による影響はほとんど無視でき（図-5参照）、底面の抵抗係数については  $0.0026$  にしてさしつかえないようだ（図-6参照）。風の影響は  $5 \text{ m/s}$  程度までならほとんど認められない（図-8参照）。また、運動量拡散係数については、 $10^4 \text{ cm}^2/\text{s}$  ではなくらかな流速分布が得られず、 $10^6 \text{ cm}^2/\text{s}$  になると水位変化のずれが大きくなってくる（図-9参照）。

河口での境界条件として、流速を与える場合と、連続式を用いる場合（図-10参照）とを比較すると大きな差が認められない。境界条件を与えるための観測にも時間間隔の問題があり、今後更に検討を加える予定である。付し、紙面

の都合で、説明不足の点があるが、詳細については満潮時に発表する予定である。最後に、名古屋城の御指導を受けたことを記し、謝意を表します。

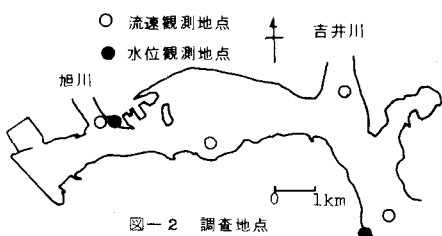


図-2 調査地点

表-1 計算条件

ケース (No.)	タイムステップ (Δt)	底面粗度 ( $b_g$ )	コリオリ係数 (f)	底面粗度 ( $Ax, Ay$ )	境界条件 (河口)	底面 (W)	底面 (W)
1	5	0.0026	0.00008	$Ax=1.0 \times 10^4$ $Ay=5.0 \times 10^4$	流速	0	本計算
2	"	"	0	"	"	"	"
3	"	$0.0026 \times 2.0$	0.00008	"	"	"	"
4	"	$0.0026 \times 2.0$	"	"	"	"	"
5	"	$C=1/n^{4/3}$	"	"	"	"	"
6	"	0.0026	"	"	"	$1(\text{East})$	"
7	"	"	"	"	"	$5(\text{East})$	"
8	"	"	"	$Ax=1.0 \times 10^4$ $Ay=1.0 \times 10^4$	"	0	"
9	"	"	"	$Ax=1.0 \times 10^4$ $Ay=1.0 \times 10^4$	"	"	"
10	"	"	"	$Ax=1.0 \times 10^4$ $Ay=5.0 \times 10^4$	"	"	"
11	"	"	"	$Ax=1.0 \times 10^4$ $Ay=5.0 \times 10^4$	連続式のみ適用	"	"

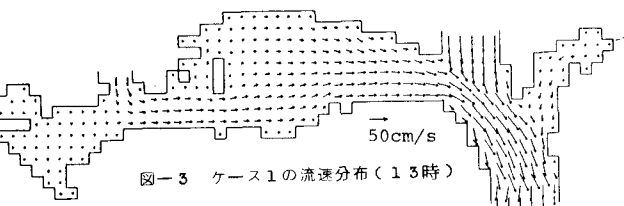


図-3 ケース1の流速分布(13時)

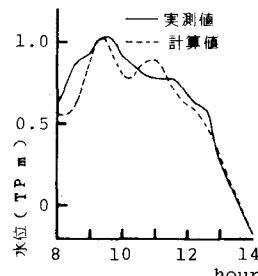


図-5 ケース2の水位  
(コリオリ力を無視した場合)

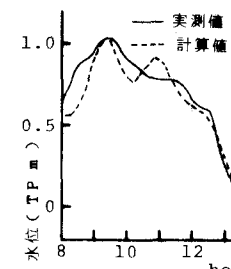


図-7 ケース4の水位  
( $Yb^2 = 0.0026/2$ )

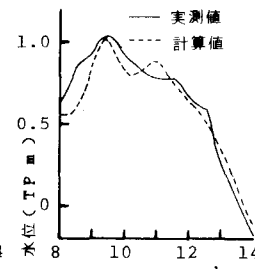


図-6 ケース3の水位  
( $Yb^2 = 0.0026 \times 2$ )

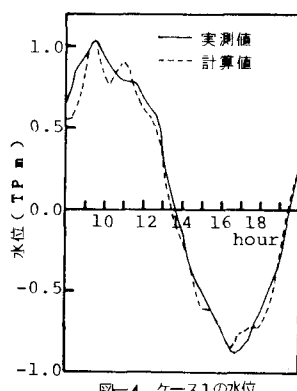


図-4 ケース1の水位

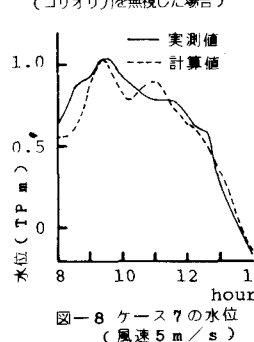


図-8 ケース7の水位  
(風速 5 m/s)

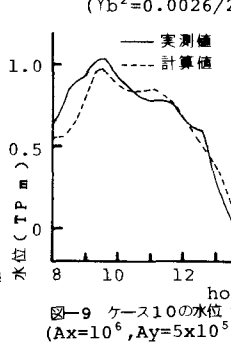


図-9 ケース10の水位  
( $Ax=10^6, Ay=5 \times 10^4$ )

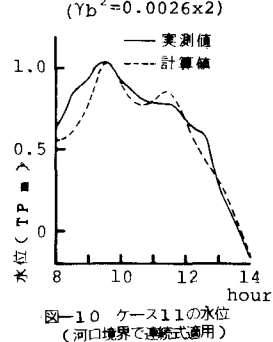


図-10 ケース11の水位  
(河口境界で連続式適用)